

کانی‌شناسی، بافت و ساخت و ژنر کانسار آهن – آپاتیت ذاکر (شمال خاور زنجان)

نسرين خانمحمدی^{۱*}، احمد خاکزاد^۲ و جواد ايزديار^۱

^۱دانشگاه زنجان، دانشکده علوم، گروه زمین‌شناسی، زنجان، ایران.

^۲دانشگاه شهید بهشتی، دانشکده علوم‌زمین، تهران، ایران.

تاریخ دریافت: ۱۳۸۸/۰۹/۲۹ تاریخ پذیرش: ۱۳۸۶/۰۹/۲۶

چکیده

کانسار آهن ذاکر (شمال خاور زنجان) در نوار ولکانولوتوئنیک طارم در زون ساختاری البرز باختری- آذربایجان واقع شده است. واحدهای سنگ‌شناسی در محدوده کانسار، سنگ‌های آتشفشاری - آذرآواری با ترکیب توف برشی- لایلی توف و گدازه‌های آندزیتی- بازلی توف آمد تشکیلات کرج هستند که طاقدیسی را تشکیل داده‌اند و توده‌های نفوذی با ترکیب کوارتزمونزودیوریت، کوارتر مونزونیت و کوارتر سینیت (با سن الیگوسن) در امتداد محور طاقدیس موجود در این واحدها جایگیری کردۀ‌اند. کانه‌زایی آهن در حدفاصل توده نفوذی و سنگ‌های آتشفشاری روی داده است. کانه اصلی کانسنگ، مگنتیت- آپاتیت همراه با مقادیر کمی کوارتر و کلسیت است. افزون بر کانی‌سازی آهن- آپاتیت، کانی‌های سولفیدی پیری همراه با صورت رگجه‌ای پس از کانسنگ اصلی در منطقه تشکیل شده‌اند. کانی‌سازی در ۵ شکل رگجه‌های استوکدور ک مگنتیت، مگنتیت- آپاتیت توده‌ای، مگنتیت- آپاتیت رگجه‌ای و رگجه‌های سولفیدی در محدوده دیده می‌شود. نفوذ توده معدنی در سنگ‌های آتشفشاری میزان موجب متاسوماتیسم اسکارنی و تشکیل کانی‌های اکینولیت، تالک، کلریت، فلوگوپیت، کوارتر، کلسیت و اپیدوت شده است. بر اساس بررسی‌های ژئوترموبارومتری بخش اسکارنی، واکنش‌های دگرگونی در حضور سیالی با ترکیب $X_{\text{co}_2}=0.9$ دمای ۴۰۰-۵۰۰ درجه سانتی‌گراد و فشار حدود ۲ کیلو بار انجام گرفته است. بررسی‌های بافتی و ساختی در ناحیه نشان می‌دهد که ماده معدنی از توده گرانیتوییدی ذاکر مشاگرفته و در سنگ‌های آتشفشاری میزان نفوذ کرده است. شواهد کانه‌نگاری از منشأ مagma‌ای نوع کایرونای این کانسار حمایت می‌کند.

کلیدواژه‌ها: ذاکر، زون ساختاری البرز باختری - آذربایجان، مگنتیت- آپاتیت، اسکارن، ژئوترموبارومتری، کایرونای

Email: Khanmohammadi15694@yahoo.com

*نویسنده مسئول: سرین خانمحمدی

۱- مقدمه

۵- تعیین نوع و ژنر کانسار مورد مطالعه در این راستا ۵۰ نمونه مقطع نازک و ۱۵ نمونه مقطع صیقلی برای مطالعات سنگ‌شناسی و کانه‌نگاری تبیه و ۲۷ نمونه به روش XRF برای بررسی‌های سنگ‌شناسی و ژئوشیمی کانسنگ و همچنین ۱۱ نمونه به روش XRD تجزیه شدند.

۲- زمین‌شناسی

منطقه ذاکر در شمال خاور زنجان و در نوار ولکانولوتوئنیک طارم واقع شده است. این نوار در تیجه فعالیت‌های ماگماتیسم ترشیری البرز باختری- آذربایجان با روند NW-SE تشکیل شده است. ناحیه موردنظر در نقشه زمین‌شناسی ۱:۱۰۰۰۰ (Hirayama, 1966) طارم عرض جغرافیایی ۳۶°۳۹' تا ۳۶°۴۰' شمالی قرار دارد. براساس نقشه زمین‌شناسی ۱:۲۵۰۰۰ ذاکر (شکل ۱) قدیمی‌ترین واحد رخنمون یافته در محدوده، سنگ‌های آتشفشاری - آذرآواری با ترکیب توف برشی- لایلی توف و گدازه‌های آندزیتی- بازلی توف آمد تشکیلات کرج هستند. این واحدها چین خورده و طاقدیسی را تشکیل داده‌اند و توده‌های نفوذی گرانیتوییدی با ترکیب کوارتزمونزودیوریت، کوارتزمونزونیت و کوارتر سینیت (با سن الیگوسن) در راستای NW-SE در امتداد محور طاقدیس در این واحدها جایگیری و موجب دگرگونی مجاورتی آنها در حد رخساره هورنبلند هورنفلس شده‌اند. رسوبات کواترنر شامل پادگانه‌های آبرفتی، رسوبات آهکی آب شیرین، رسوبات مخروط افکنه‌ای و نهشته‌های آبرفتی دوران چهارم در بخش جنوبی محدوده، جوان‌ترین واحدهای زمین‌شناسی را تشکیل می‌دهند. کانه‌زایی آهن در حد فاصل توده نفوذی و سنگ‌های آتشفشاری و آذرآواری تشکیل شده است.

۳- سنگ‌شناسی

۳-۱. سنگ‌شناسی توده‌های نفوذی منطقه

- کوارتر مونزونیت: در این سنگ‌ها کانی‌های اصلی شامل بلورهای خودشکل

کانسار آهن ذاکر به همراه کانسارات آهن اسکنده، کرده ناب و علی آباد در نوار فلززایی طارم واقع شده‌اند که بخشی از زون ساختاری البرز باختری- آذربایجان به شمار می‌رود. این نوار از لحاظ مواد معدنی و بررسی‌های زمین‌شناسی مورد توجه بسیاری از پژوهشگران داخلی و خارجی بوده است (مهرداد بهزادی، ۱۳۸۵). کانسار آهن ذاکر در فاصله ۲۲ کیلومتری شمال خاور شهرستان زنجان و ۲ کیلومتری خاور روستای ذاکر واقع شده است. دسترسی به آن از راه ارتباطی زنجان- گیلان از طریق جاده زنجان - تهران امکان‌پذیر است. Hirayama (1966) با تبیه نقشه زمین‌شناسی ۱:۱۰۰۰۰ طارم، توده‌های نفوذی منطقه را گدازه‌های آندزیتی- بازلی و توف‌های ریوداسیتی معرفی کردۀ‌اند. رحمانی (۱۳۸۳) با مطالعه کانسارات آهن- آپاتیت زون طارم و ارائه شواهدی همچون عدم امتناع دو مایع سیلیکاتی و اکسید آهن، منشأ آنها را مagma‌ای معرفی کرد. با توجه به وجود کانسارات یاد شده مطالعه کانسار آهن ذاکر راهنمای اکتشافی و مطالعاتی مناسبی خواهد بود تا بدین طریق کانسارات دیگر منطقه مورد بررسی قرار گرفته و با کانسار آهن ذاکر مقایسه و ارتباط آنها با یکدیگر مشخص شود.

هدف از بررسی این کانسار، تعیین ژنر و نوع کانسنگ در توده نفوذی ذاکر بوده که در این پژوهش، افزون بر مطالعات سنگ‌شناسی، سنگ‌های آتشفشاری- آذرین منطقه، کانه‌زایی، ژئوشیمی و ژنر کانسار آهن مورد بررسی قرار گرفته است. به مواردی از این اهداف پژوهش اشاره می‌شود:

۱- بررسی سنگ‌شناختی توده نفوذی و سنگ دربرگیرنده کانسار

۲- مطالعه سنگ‌شناسی و دگرسانی توده نفوذی

۳- مطالعه کانه‌نگاری، توالی پاراژنیکی کانه‌ها و ژئوشیمی کانسار

۴- بررسی زمین‌شناسی ساختاری منطقه و عوامل کنترل کننده ساختاری تشکیل کانسنگ

۴- کانه‌زایی

کانه‌زایی آهن در منطقه ذاکر حد فاصل توده نفوذی و سنگ‌های آتشفشاری و آذرآواری تشکیل شده است.

کانه اصلی کانسنگ، مگنتیت- آپاتیت است که همراه با مقادیر کمی کوارتز و کلسیت است. افزون بر کانی سازی آهن- آپاتیت، کانی‌های سولفیدی پیریت همراه با مقادیر کمی کالکوپیریت به صورت رگچه‌ای تشکیل شده‌اند. نفوذ توده معدنی در سنگ‌های آتشفشاری میزبان، باعث اسکارن‌زایی و تشکیل کانی‌های اکتینولیت، تالک، کلریت، کوارتز، کلسیت، اپیدوت و فلوگوپیت شده است. کانی‌های هماتیت، گوتیت و ملاکیت، حاصل دگرسانی کانی‌های مگنتیت، پیریت و کالکوپیریت در بخش‌های سطحی کانسار هستند.

۴.۱. مگنتیت

مگنتیت کانه اصلی کانسار بوده که به همراه آپاتیت بخش عده کانسار را تشکیل داده است. این کانی دارای بافت توده‌ای، دانه‌ای و بافت کاتاکلاستیک است (شکل ۸). بافت کاتاکلاستیک از قطعات بلورین کاملاً فشرده در اندازه پودری تا چند سانتی‌متری تشکیل شده است. (Redman & O'Reilly, 1970) به این باورند که به دلیل افزایش اکسیژن در محتوی ثابت کاتیون، بلورهای مگنتیت در واحد حجم، طی فرایند اکسایش در دمای پایین افزایش می‌باشد و بافت کاتاکلاستیک تشکیل می‌شود. افزون بر آپاتیت، مقادیر کوارتز و کلسیت هم با مگنتیت تشکیل شدند.

۴.۲. آپاتیت

آپاتیت کانی دارای باطله چرخه در کانسنگ مگنتیتی است. این کانی دارای رنگ صورتی و از نوع فلورئن آپاتیت بوده و مقادیر کلر آن پایین است. بر اساس مطالعات میکروسکوپی دارای بلورهای خودشکل مونوپیرامیدال است و به صورت بلورهای شش وجهی کوچک و بزرگ و ستونی دیده می‌شود (شکل ۹).

۴.۳. اکتینولیت

فراوان‌ترین کانی سیلیکاتی آبدار همراه با مگنتیت در کانسار، آمفیبول نوع اکتینولیت است. این کانی دارای بافت دندرتیتی است. همچنین اگر گات‌های شعاعی و اشکال سوزنی شکل و پرمانند از این کانی در داخل مگنتیت تشکیل شده‌اند (شکل ۱۰). بر اساس شواهد صحرابی در داخل توده مگنتیتی، رگه‌هایی از کانی اکتینولیت به صورت بلورهای سوزنی تشکیل شده است و بر اساس مطالعه نتایج تجزیه XRD از کانسنگ، وجود کانی اکتینولیت تأیید شده است (پیوست ۱).

۴.۴. پیریت

پیریت فراوان‌ترین کانی در رگچه‌های سولفیدی تشکیل شده در مراحل نهایی تشکیل کانسنگ است. بر اساس مطالعات کانه‌نگاری انجام گرفته، دو نسل از این کانی مشخص شده است. در نسل اول، کانی پیریت به صورت بلورهای بی‌شکل و نیمه شکل دار می‌شوند (شکل ۱۱). نبود اشکال بلورین مشخص در کانی پیریت و ارتباط باقی آن با مگنتیت، بیانگر رشد همزمان آنهاست. به عبارتی، تشکیل این نسل از پیریت، پیش از کانی مگنتیت شروع و حتی همزمان با تشکیل آن نیز ادامه داشته است. پیریت‌های نسل اول، به کانی گوتیت تبدیل شدند. این بافت جانشینی از حواشی بلورها شروع و اغلب تا درون بلورها توسعه یافته است. پیریت‌های نسل دوم، طی فاز تأخیری سولفیدی به صورت رگچه‌های سولفوری قطع کننده کانسنگ مگنتیتی (پرکننده شکستگی‌ها) تشکیل شدند. این گروه، بلورهای خودشکل کانی پیریت همراه با کانی کالکوپیریت هستند. کانی‌های پیریت در این نسل، نسبت به نسل اول سالم‌تر بوده و به مقادیر کمتر توسط گوتیت جانشین شده‌اند (شکل ۱۲).

۴.۵. کالکوپیریت

کالکوپیریت به شکل‌های نامنظم و پرکننده فضاهای خالی، در شکستگی‌های

پلاژیوکلاز (لابرادوریت- آندزین) با ماکل پلی‌سنتیک و پریکلین و فلدسپار قلیایی و کوارتز است. فلدسپارهای قلیایی به صورت نیمه شکل دار یا بی‌شکل در این سنگ حضور دارند و گاهی به صورت هاله‌ای با احاطه بلورهای پلاژیوکلاز تشکیل بافت آنتی راپاکیوی (مونزونیتی) داده‌اند (شکل ۲). کانی‌های مافیک این سنگ‌ها، آمفیبول با ترکیب هورنبلند و بافت اسکلتی (شکل ۳) پیروکسن با ترکیب اوژیت و بیوتیت (مقدار کم) هستند. کانی‌های فرعی آپاتیت، اسفن، زیرکن و مگنتیت می‌باشند. کانی‌های ثانویه شامل سریسیت، کلسیت، کلریت، اپیدوت و کانی‌های رسی بوده و بافت این سنگ‌ها گرانولار، گرانوفیری و غربالی است (شکل ۴).

- گوارتزموفزوودیوبوریت: کانی‌های اصلی سنگ پلاژیوکلاز، مقدار کمی فلدسپار قلیایی و کوارتز است. پلاژیوکلازها به سریسیت و کانی‌های رسی تبدیل شده‌اند. کانی‌های مافیک شامل آمفیبول و بلورهای نیمه شکل دار پیروکسن هستند. کانی‌های فرعی آپاتیت، اسفن و بافت این سنگ‌ها گرانولار تا پورفیریک و غربالی می‌باشند (شکل ۵).

- گوارقرقیسینیت: کانی‌های اصلی گوارقرقیسینیت عبارتند از فلدسپار قلیایی، پلاژیوکلاز به مقدار کم و مقدار جزئی گوارتزآلکالی فلدسپار به شدت دگرسان شده و به کانی‌های رسی تبدیل شده است. کانی‌های مافیک شامل آمفیبول، بیوتیت و مقدار جزئی مسکوکوتی هستند. کانی‌های فرعی این سنگ‌ها را آپاتیت و کانی‌های کدر تشکیل می‌دهند. بافت سنگ گرانولار و به طور مشخص بافت گرانوفیر است (شکل ۶).

۳- ۲. سنگ‌شناسی سنگ‌های آتشفشاری و آذرآواری منطقه

در محدوده ذاکر در نزدیکی کانسار دو واحد $E_{k.a}^6$ و $E_{k.a}^8$ از بخش آمند سازند کرج رخمنوی یافته‌اند:

- واحد Ek.a6: این واحد مشکل از توف برشی و لایلی توف است. کانی‌های اصلی، کوارتز و فلدسپار قلیایی همراه با بلورهای زاویه‌دار پلاژیوکلاز هستند. فلدسپارهای قلیایی به سریسیت و کانی‌های رسی تبدیل شده‌اند. کانی‌های مافیک شامل بلورهای نیمه شکل دار پیروکسن است. حفرات سنگ از گوارتز ریز بلورین، کلریت و کلسیت پر شده و همچنین سنگ توسط رگچه‌های کلسیت، کلریت و سیلیس قطع شده است. قطعات سنگ‌های آتشفشاری بافت هیالومیکرولیتی پورفیری در متن سنگ پراکنده هستند که احتمالاً این قطعات، جدا شده از سنگ‌های آتشفشاری عضوهای قدیمی سازند کرج هستند (شکل ۷).

- واحد Ek.a8: این واحد بالایی ترین بخش آمند سازند کرج است که در این منطقه به دو زیر واحد Ek.a8-1 و Ek.a8-2 شامل توف بلورین، آندزین پورفیری و Ek.a8-2-شامل اولیوین- اوژیت بازالت پورفیری قابل تتفکیک است:

- واحد Ek.a8-1: این واحد با داشتن ذراتی بزرگ‌تر از ۲ میلی‌متر (به مقدار ۱۵ تا ۳۰ درصد) جزو توف‌ها طبقه‌بندی می‌شود. کانی‌های موجود در سنگ، بلورهای خرد شده و زاویه‌دار فلدسپار قلیایی، گوارتز و پلاژیوکلاز هستند که در خمیره‌ای از شیشه قرار دارند. کانی‌های مافیک سنگ پیروکسن است. شکستگی‌های سنگ توسط رگچه‌های کلسیت، اپیدوت و کلریت پر شده و هماتیت و آپاتیت کانی‌های فرعی سنگ هستند.

- واحد Ek.a8-2: این واحد شامل سنگ‌های آتشفشاری به رنگ سبز تیره تا سیاه بوده که در محل تماس با توده گوارتز مونزونیتی متحمل دگرگونی مجاوری در حد رخساره هورنبلند- هورنفلس شده است. کانی‌های تشکیل دهنده آنها پلاژیوکلاز و فلدسپار قلیایی به مقدار خیلی کم است. بلورهای خودشکل کانی پیروکسن (با ترکیب اوژیت) به صورت فنوکریستال و میکروکریستال در سنگ دیده می‌شود. کانی‌های ثانویه در سنگ کلریت، اپیدوت، کلسیت و کانی‌های فرعی شامل آپاتیت و کانی کدر هستند. بافت این سنگ‌ها هیالومیکرولیتی پورفیری است.

۶- دگرسانی اسکارنی و ژئورومبارومتری واکنش‌های انجام شده

در ناحیه ذاکر همزمان با جایگزینی توده معدنی در سنگ‌های میزبان آتشفسانی، دگرسانی اسکارنی رخ داده و کانی‌های اکتینولیت، ترمولیت، کلریت، تالک، فلوگوپیت، کوارتز، کلسیت و اپیدوت در سنگ‌های دیواره تشکیل شده است. مرحله بالا به عنوان مرحله دگرسانی قهقرایی از تشکیل اسکارن در نظر گرفته می‌شود که موجب تبدیل فازهای بدون آب مرحله اولیه به فازهای آبدار شده است. کانی اکتینولیت را به عنوان یک کانی اصلی اسکارنی در کانسارهای Frietsch (1978) تیپ کایرونا معرفی کرده است که در سنگ‌های میزبان به صورت رگه‌ای و توده‌های منظم بوده و رشد آن همزمان با تشکیل کانسار صورت گرفته است. مطالعات ژئورومبارومتری بخش اسکارنی، بر اساس منحنی‌های مربوط به واکنش‌های شناخته شده در هاله دگرگونی، در نمودار فشار - حرارت، فشاری حدود ۲ کیلوبار را نشان می‌دهند. همچنین محاسبه محل تقاطع منحنی‌های واکنشی مربوطه با فرض فعلیت یک برای همه فازها و رسم آنها بر روی نمودار حرارت - کسر مولی دی اکسید کربن ($T-X_{CO_2}$) نشان می‌دهد که کسر مولی دی اکسید کربن هنگام دگرگونی برابر با $0.9/400$ درجه سانتی گراد برآورد شده است.

۷- همبود (پاراژن)

بر اساس مطالعات کانه‌نگاری و سنگ‌شناسی انجام شده و همچنین بررسی‌های صحرایی، توالی کانی‌زایی در منطقه به ۴ مرحله تقسیم می‌شود: (جدول ۱).

۱- مرحله اولیه (آغازین)

کانی‌زایی آهن در مرحله اول با تشکیل مگنتیت در شکستگی‌های داریستی موجود در توده نفوذی نزدیک کانسنگ اصلی آهن شروع می‌شود. توده نفوذی ذاکر متتحمل دگرسانی شده و شکستگی‌های داریستی در توده ایجاد می‌شود. پر شدن فضاهای خالی توسط سیال غنی از آهن باعث تشکیل کانه‌زایی آهن باافت استوکورک می‌شود. وجود مقادیری سولفور در درون توده نفوذی به صورت قطرک‌های سولفیدی موجب تشکیل پیریت‌های نسل اول می‌شود. این پیریت‌ها در مراحل بعدی کانه‌زایی هم همراه کانه مگنتیت تشکیل می‌شوند. توالی همبود (پاراژنی) در این مرحله به صورت مقابل است: پیریت + مگنتیت + کوارتز + کلسیت

۲- مرحله اصلی کانه‌زایی

مرحله اصلی کانه‌زایی با تشکیل ماقمای مذاب غنی از اکسید آهن که در اثر تفرقی ماقمایی از توده نفوذی جدا شده، صورت گرفته است. کانسنگ آهن به صورت رگه‌ای در این مرحله تشکیل شده است. براساس کانی‌های همراه با مگنتیت و ارتباط آنها با یکدیگر، فاز اصلی کانه‌زایی به سه بخش جداگانه تقسیم می‌شود:

مرحله A: در این مرحله بخش اصلی کانسار تشکیل می‌شود و کانه‌های آن عبارتند از مگنتیت و آپاتیت. مگنتیت تشکیل بافت توده‌ای، دانه‌ای و کاتاکلاستیکی داده و همرشدی آپاتیت با مگنتیت با شکل‌های توده‌ای، نواری و رگه‌ای در منطقه صورت گرفته است. به علت وجود فاز سیلیکاتی در درون مذاب آهن، کانی پیروکسن همراه با مگنتیت تشکیل شده است. بلورهای پیریت‌ها همراه با تشکیل مگنتیت دیده می‌شوند که نشان‌دهنده این است که تبلور پیریت‌ها همراه با تشکیل مگنتیت در این مرحله ادامه داشته است. توالی کانی‌زایی در این مرحله به صورت زیر است: پیریت + مگنتیت + آپاتیت + پیروکسن + کوارتز + کلسیت

مرحله B: تشکیل کانی مگنتیت و آپاتیت در این مرحله ادامه داشته و احتمالاً کانی پیروکسن تشکیل شده در مرحله A به آفیول از نوع اکتینولیت تبدیل می‌شود. اکتینولیت در تعادل با مگنتیت و آپاتیت بوده و همرشدی آن با مگنتیت در مقاطع میکروسکوپی و مشاهدات صحرایی کاملاً آشکار است. این کانی به صورت

مگنتیت و پیریت است. این کانی بیشتر به کوولیت تبدیل و در مواردی، کوولیت به صورت دروغین از این کانی تشکیل یافته است (شکل ۱۳). همچنین در اثر دگرسانی تبدیل شدگی به مالاکیت نشان می‌دهد (شکل ۱۵).

۴- هماتیت

در بخش‌های نزدیک سطح زمین در مناطقی که کانسار رخمنون داشته و مگنتیت در معرض هوازدگی قرار گرفته، هماتیت تشکیل شده است. به طوری که در بخش‌های ژرف کانسار، مقدار هماتیت بسیار کم است. تمامی هماتیت‌های تشکیل شده در کانسنگ از نوع ثانویه هستند و طی فرایند مارتیت شدن از اکسایش مگنتیت به وجود آمده‌اند. در کانسار مورد مطالعه، مارتیت شدن از حاشیه دانه‌های مگنتیت و در امتداد شکستگی‌ها و سطوح رخ شروع شده (شکل ۱۴) و در مراحل پیشرفت‌های در بخش‌های درونی کانه توسعه پیدا کرده است. در مواردی بخش بیشتر مگنتیت به هماتیت تبدیل و فقط آثاری از آن به صورت لکه‌های باقی مانده است.

۵- گوتیت و مالاکیت

گوتیت و مالاکیت به ترتیب محصول دگرسانی مگنتیت و کانی‌های سولفیدی هستند. پیریت‌های نسل اول به طور کامل به کانی گوتیت تبدیل شده و آثاری از بلورهای آنها باقی مانده است (شکل ۱۲). مالاکیت به عنوان کانی کربناتی، حاصل اکسایش کالکوپیریت در رگه‌های سولفیدی است (شکل ۱۵).

۵- انواع کانی‌سازی در منطقه ذاکر

براساس بررسی‌های صحرایی و مطالعه مقاطع میکروسکوپی کانی‌سازی آهن به ۵ طریق تشکیل شده است:

۱- رگه‌های نامنظم مگنتیت به شکل استوک و رک

توده نفوذی نزدیک کانسار دگرسانی و شکستگی‌هایی در توده سنگی تشکیل داده که کانه مگنتیت همراه با کوارتز و کلسیت فضاهای خالی شکستگی‌ها را پر کرده و به صورت رگه‌هایی، تشکیل بافت استوک و رک را داده است. دگرسانی از نوع کانی‌های رسی، کلریت و مونت‌موریلوفیت است.

۲- کانی‌سازی مگنتیت - آپاتیت به صورت توده‌ای

در ساختار توده‌ای، کانی آپاتیت به صورت بلورهای منفرد سفید رنگ و یا تجمعی از چندین بلور و قطعات بلوری تشکیل می‌شود. اندازه بلورها و قطعات بلورین در مقایس وسیعی متغیر است. آپاتیت‌های درشت بلور به شکل منشوری بی‌پیرامیدال و سوزنی، که گاهی ابعاد بلور حتی به 30 cm می‌رسد، تشکیل و فضای بین بلورها توسط کانی‌های کوارتز و کلسیت پر شده است.

۳- کانی‌سازی مگنتیت - آپاتیت نواری (باندی)

مشخصه مهم ساختار نواری، وجود لایه‌ها یا نوارهایی از بلورهای ریزدانه صورتی تا سفیدرنگ آپاتیت در درون توده مگنتیت است (شکل ۱۶).

۴- کانی‌سازی آپاتیت به صورت رگه‌ای در داخل مگنتیت

رگه‌های آپاتیت در درون توده مگنتیت به عنوان فاز نهایی کانی‌سازی مگنتیت - آپاتیت پیش از مرحله تشکیل سولفیدها به شمار می‌آیند. زمانی که بلورهای تشکیل شده آپاتیت در متن سنگ به ابعاد بزرگ‌تری بر سر تشکیل رگه‌های آپاتیت را می‌دهد. به عبارتی این رگه‌ها مشکل از بلورهای درشت ابعاد به همراه بلورهای ریزدانه و خردشده آپاتیت هستند (شکل ۱۷).

۵- کانی‌سازی سولفیدی به صورت رگه‌ای

کانی‌سازی سولفیدی شامل کانی پیریت همراه با مقادیری کالکوپیریت است که به صورت رگه‌های سولفوری در فاز تأخیری بعد از تشکیل مگنتیت - آپاتیت تشکیل شده‌اند. در این رگه‌ها مگنتیت همراه با کانی‌های سولفیدی دیده می‌شود.

- ۱- توده نفوذی ذاکر غنی از آهن، فسفر، عناصر خاکی کمیاب، فلوئور، کلر و عناصر رادیواکتیو از طریق دو سیستم گسله با روند NW-SE (منطبق بر امتداد محور طاقدیس موجود در سنگ‌های آتشفشاری میزان) در حال هدایت به سوی سطح زمین بوده که در بخش‌های بالایی پوسته زمین در ژرفایی کم مستقر می‌شود.
- ۲- باشروع فرایند جمادام‌گما، تبلور از بخش پایین ماگما آغاز و تاسقف توده نفوذی ادامه می‌یابد که طی این فرایند مواد فرار از مذاب خارج می‌شوند و در بخش مرکزی تجمع می‌یابند.
- ۳- مواد فرار پس از جدا شدن از مذاب به علت داشتن چگالی کمتر از آن به بخش بالایی توده نفوذی صعود کرده و با فشار وارد، باعث شکسته شدن سقف توده نفوذی می‌شوند. همچنین خروج مواد فرار موجب دگرسانی توده نیز می‌شوند. در این مرحله فاز اولیه اکسید آهن به صورت مگنتیت همراه با کوارتز و کلسیت درون شکستگی‌ها را پر کرده و تشکیل رگچه‌های استوکر کری را می‌دهند.
- ۴- به دنبال مرحله ۳ فاز اصلی آهن - فسفات از مذاب سیلیکاتی تفكیک می‌شود. صعود یافرورفت مذاب آهن - فسفات در مذاب سیلیکاتی بستگی به نسبت گاز به سیال دارد یعنی در صورت بالا بودن مقدار گاز، توده مگنتیت- آپاتیت صعود خواهد کرد (Nasland et al., 2000). وجود مقادیر بالای O_2 ، H_2O و مواد فرار مانند F و فوگاسیته بالای اکسیژن در مذاب اولیه باعث جدایش مذاب مگنتیت- آپاتیت و تحرک آن می‌شود. بنابراین مذاب آهن - فسفات صعود و توده‌های آهن و آپاتیت را به وجود می‌آورد.
- ۵- هم‌زمان با جایگزینی توده معدنی در سنگ‌های میزان به علت افزایش مواد فرار، متاسوماتیسم اسکارنی رخ داده و کانی‌های دگرسانی مانند اکتینولیت، تالک، کلریت و فلوگوپیت تشکیل شده است.
- ۶- با افزایش مقدار سولفور طی فاز تأخیری، در درون شکستگی‌های کانسنگ اولیه رگچه‌های سولفیدی تشکیل می‌شود.

۹- نتیجه‌گیری

کانسوار آهن ذاکر به دلیل داشتن کانی‌های مگنتیت، آپاتیت و اکتینولیت، متاسوماتیسم نوع اسکارنی، تماس مشخص با سنگ‌های میزان، شکل ماده معدنی و موقعیت زمین ساختی مشابه با کانسوارهای آهن ماگمایی در نقاط مختلف جهان است. کاسار آهن ذاکر بر اساس گروهی از شواهد صحرایی و ویژگی‌های کانه‌نگاری با کانسوارهای ماگمایی نوع کایرونا مطابقت مناسی نشان می‌دهند که در ذیل تشریح می‌شوند:

- ماگمایی مولد کانسوار آهن ذاکر، توده نفوذی کم ژرفایی بوده و سنگ میزان ماده معدنی، سنگ‌های آتشفشاری با ترکیب آندزیت بازالتی هستند.
- تماس بین ماده معدنی و سنگ‌های میزان آتشفشاری مشخص بوده و همچنین شناسگر جوان بودن توده نفوذی نسبت به سنگ میزان است.
- بخش اصلی کانسنگ، مگنتیت، آپاتیت و اکتینولیت بوده که به صورت رگچه و رگه‌ای تشکیل شده است و کانی‌سازی سولفیدی یک فاز تأخیری نسبت به کانی‌سازی آهن- آپاتیت است.
- وجود اکتینولیت دندربیت همراه با مگنتیت، نشان دهنده منشأ ماگمایی این کانسوار است.
- نفوذ توده معدنی داخل سنگ‌های آتشفشاری میزان باعث ایجاد متاسوماتیسم اسکارنی و تشکیل کانی‌های اکتینولیت، تالک، کلریت، کوارتز، کلسیت، اپیدوت و فلوگوپیت شده است. بر اساس مطالعات ژئوترموبارومتری بخش اسکارنی، واکنش‌های دگرگونی در حضور سیالی با ترکیب $X_{CO_2}=0.9$ ، دمای $400-500$ درجه سانتی گراد و فشار حدود ۲ کیلو بار انجام گرفته است.

اگرگات‌های شعاعی و اشکال سوزنی و دندربیت درون مگنتیت تشکیل شده که نشان دهنده رشد هم‌زمان این دو است. بافت دندربیت اکتینولیت در کانسوارهای نوع کایرونا معمول است. Nystrom & Henriquez (1994) این بافت را یکی از ویژگی‌های کانسوارهای آهن ماگمایی می‌دانند. مقادیر کمی کوارتز و کلسیت هم در این مرحله تشکیل شده است. روند تحولی کانه‌نگاری در این مرحله به شرح زیر است: مگنتیت + آپاتیت + اکتینولیت + کوارتز + کلسیت

مرحله C: این مرحله به عنوان فاز تأخیری سولفیدی، پس از تشکیل کانسنگ اصلی مگنتیت- آپاتیت در نظر گرفته می‌شود. در این مرحله کانی‌های سولفیدی پیریت با مقادیری کالکوپیریت به صورت رگچه‌هایی تشکیل شده است. بلورهای شکل دار نسل دوم همراه با کالکوپیریت در این مرحله تشکیل شدند. در این مرحله مگنتیت همراه با کانی‌های سولفیدی دیده می‌شود. توالي پاراژنیک در این مرحله عبارتند از: مگنتیت + پیریت + کالکوپیریت

۳- مرحله اسکارن زایی

به دنبال تشکیل کانسنگ آهن و نفوذ ماگمای غنی از آهن در سنگ‌های میزان آتشفشاری، دگرسانی قهقهایی به عنوان فاز متاسوماتیسم اسکارنی رخ داده و موجب تشکیل کانی‌های آبدار از جمله اکتینولیت، تالک، کلریت و فلوگوپیت در این سنگ‌ها شده است. مطالعه مقاطع میکروسکوپی، وجود بلورهای ورقه‌ای شکل و خمیده کانی تالک را نشان می‌دهد. توالي پاراژنیک در این مرحله عبارتند از: اکتینولیت + تالک + کلریت + فلوگوپیت

۴- مرحله پس از کانه‌نگاری

در این مرحله، عملکرد فرایندی‌های اکسایش موجب تشکیل کانی‌های دگرسانی از کانی‌های تشکیل شده در مرحله اصلی کانه‌نگاری شده‌اند. به طوری که طی فرایند اکسایش در بخش‌های سطحی و کم ژرفایی کانسوار، کانی‌های هماتیت، گوئیت، مالاکیت و کوولیت از کانی‌های مگنتیت، پیریت و کالکوپیریت تشکیل شده است. کانی‌های تشکیل شده در این مرحله انواع زیر هستند:

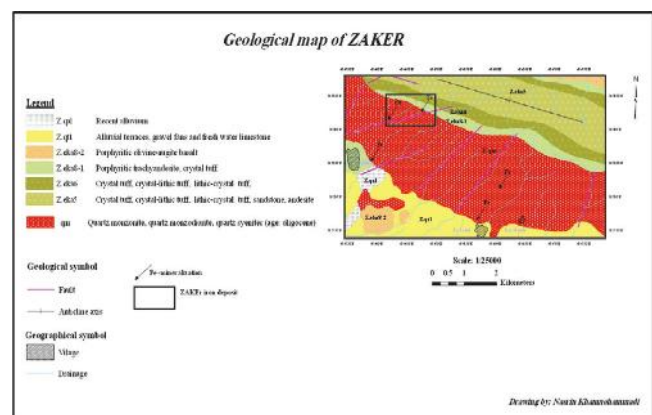
هماتیت + گوئیت + مالاکیت + کوولیت

۸- ژئو

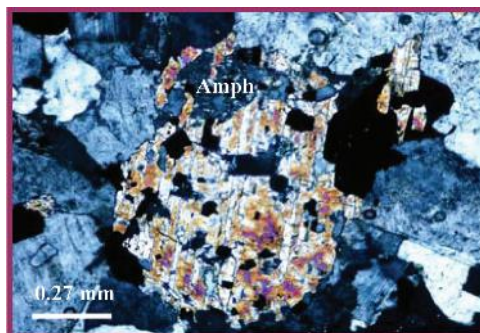
کانسوارهای آهن- آپاتیت به کانسوارهای تیپ کایرونا معروف است که در مناطق مختلف جهان وجود داشته و اغلب با سنگ‌های آتشفشاری و نفوذی کم ژرفایی همراه هستند. جزء اصلی تشکیل دهنده این کانسوارها مگنتیت است که با مقادیر مختلفی آپاتیت و اکتینولیت همراه است. کانسوار آهن ذاکر از نوع کانسوارهای آهن- آپاتیت است که میزان آن سنگ‌های آتشفشاری و نفوذی گرانیتوییدی است. برخلاف مطالعات فراوانی که بر روی کانسوارهای تیپ کایرونا انجام شده، نظرات مختلفی در مورد منشأ آنها وجود دارد. اغلب محققان از منشأ ماگمایی این کانسوارها و جایگزینی ماگمای غنی از مواد فرار، با نهشته شدن از سیال‌های باقیمانده حمایت کرده و فرایند تفریق ماگمایی و اختلاط ناپذیری را به عنوان منشأ این کانسوارها در نظر گرفته‌اند. شواهد ژئوشیمیایی و کانه‌نگاری، حاکی از ماگمایی بودن منشأ کانسوار آهن ذاکر بوده و مطالعات سنگ‌شناسی و کانه‌نگاری نشان می‌دهد که کانی سازی در منطقه طی سه فاز جداگانه تشکیل شده است. در فاز نخست کانی سازی آهن از نوع مگنتیت، آپاتیت و اکتینولیت، فاز بدون آب است. فاز دوم کانی سازی، شامل مگنتیت، آپاتیت و اکتینولیت، فاز آبدار بوده که نسبت به فاز اول غنی از کلسیم و فسفر است. فاز سوم، کانی سازی سولفیدی شامل پیریت و کالکوپیریت است که به صورت رگچه‌هایی کانسنگ اصلی مگنتیت- آپاتیت راقطع کرده است. براساس مطالعات ژئوشیمیایی و کانه‌نگاری، کانسوار آهن- آپاتیت ذاکر به عنوان کانسوار آهن- آپاتیت نوع کایرونا معرفی می‌شود. در مورد ژئو کانسوار این گونه برداشت می‌شود که:

جدول ۱- جدول همیوود (پاراژنر) کانه‌ها و کانی‌های موجود در کانسار آهن ذاکر

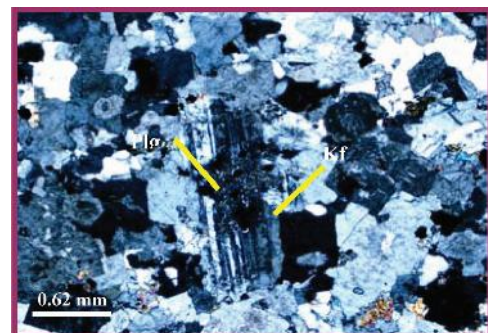
کانه‌ها	مرحله اولیه	مرحله اصلی کانه زایی			مرحله اسکارن زایی	مرحله بعد از کانه زایی
		A	B	C		
بیریت			سل نور	سل اول		
فیلیستین						
لائپتیت						
کوکوتز						
کلکسیت						
هیروگلیفس						
اگنیولیت						
کالکوبیریت						
هیمازیت						
گوپیت						
شالاکیت						
کوچولیت						
بلانک						
گلبریت						
فللوگوپیت						
اویندروت						



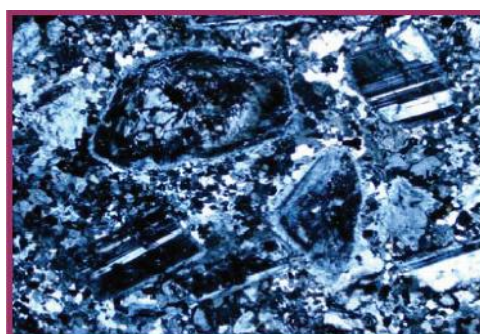
شکل ۱- نقشه زمین‌شناسی ۱:۲۵۰۰۰ ذاکر



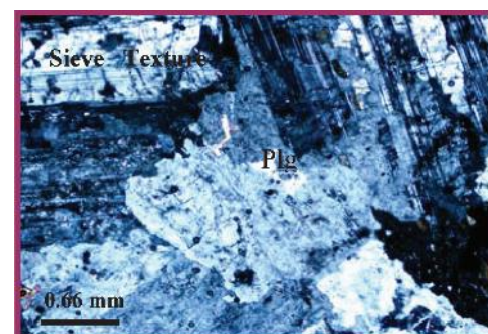
شکل ۳- بافت اسکلتی در آمفیبیول (XPL,100X)



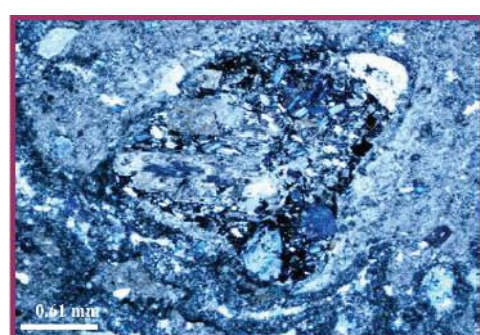
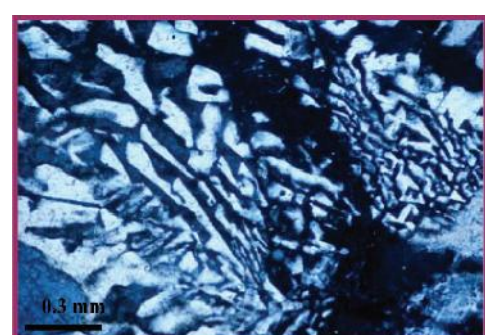
شکل ۲- بافت آنتی راباکیوی در پلازیوکلازها (XPL,40X)



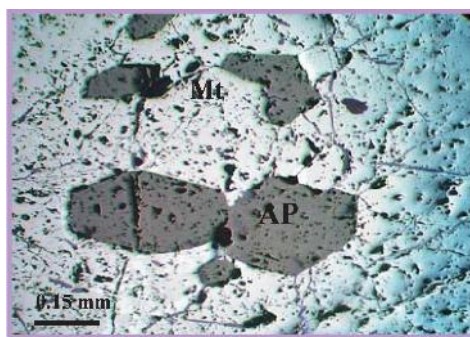
شکل ۵- بافت پورفیری و ساختار منطقه‌بندی در پلازیوکلازها (XPL,40X)



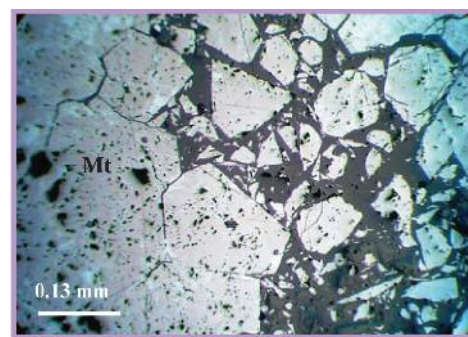
شکل ۴- بافت غربالی در پلازیوکلازها (XPL,40X)


 شکل ۶- قطعات سنگی پراکنده در متن سنگ واحد E_{Ka}⁶ (XPL,40X)


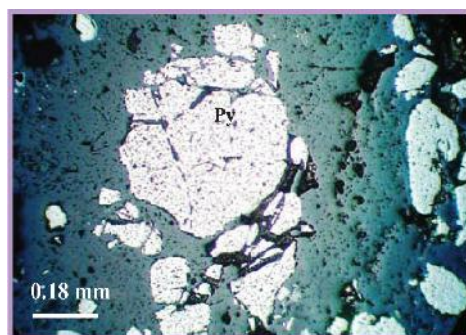
شکل ۷- نمایی از بافت گراناتوفیری در کوارتز سینیت (XPL,100X)



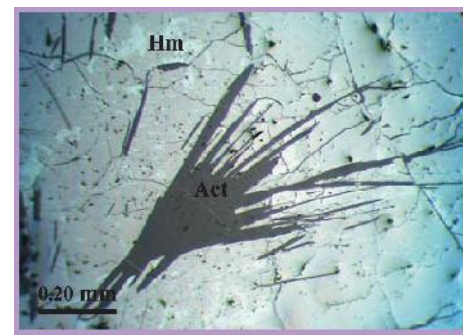
شکل ۹- بلورهای شش وجهی و پراکنده آپاتیت در داخل مگنتیت (10X).



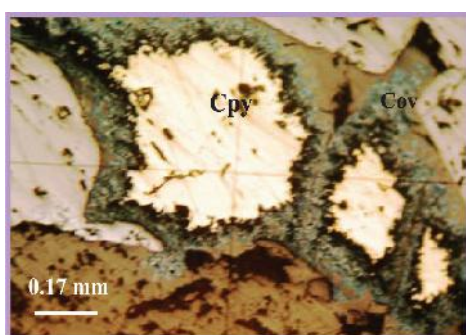
شکل ۸- بافت کاتاکلاستیک در مگنتیت (10X).



شکل ۱۱- رشد پیریت‌های نسل اول در توده نفوذی ذاکر (10X).



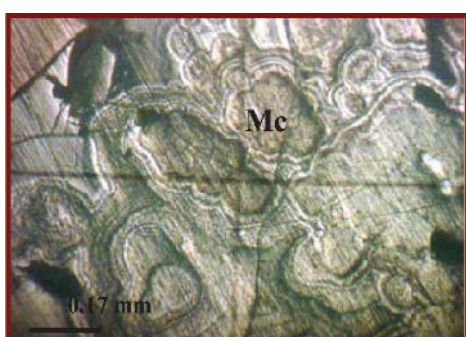
شکل ۱۰- کانی اکتینولیت دندانه‌ای در کانسنگ مگنتیتی (10X).



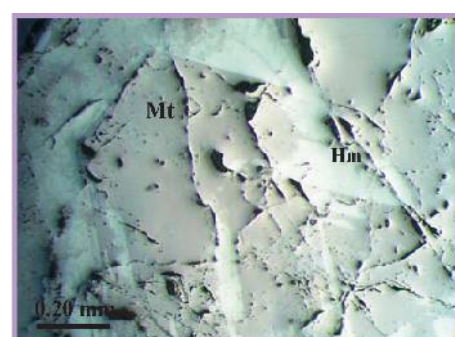
شکل ۱۳- کانی کالکوپیریت که به کوولیت تبدیل شده است.
(10X)



شکل ۱۲- پیریت شکلدار و جانشینی کانی گوتیت در
شکستگی‌های داخلی آن، (10X).



شکل ۱۵- کانی ملاکیت که از دگرسانی کانی کالکوپیریت
تشکیل شده است (10X).



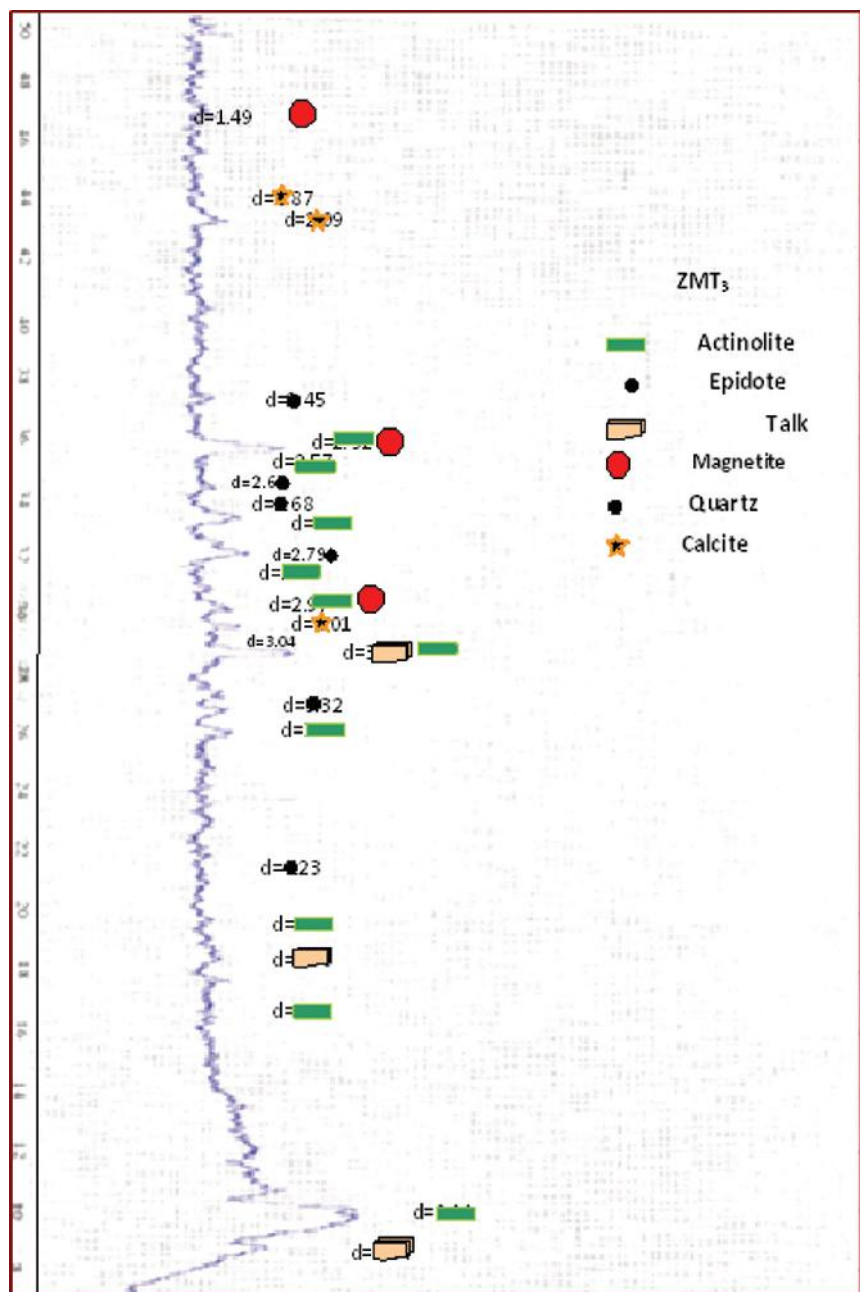
شکل ۱۴- تشکیل کانی هماتیت در امتداد سطوح رخ و حاشیه
بلور مگنتیت، (10X).



شکل ۱۷- بلورهای درشت آپاتیت که در درون مگنتیت - آپاتیت رگهای تشکیل شده است.



شکل ۱۶- نوارهای متخلک از بلورهای ریزدانه سفیدرنگ آپاتیت در درون مگنتیت - آپاتیت باندی



پیوست ۱- نمودار مربوط به تجزیه XRD که گرویاب وجود کانی اکتینولیت در کانسنگ مگنتیتی است.

کتابخانه

- خانمحمدی، ن، ۱۳۸۶- کانی‌شناسی، ژئوشیمی و ژئوگرافی کانسالار آهن ذاکر (شمال خاور زنجان)، رساله کارشناسی ارشد، دانشگاه شهید بهشتی تهران، ۲۵۰ صفحه.
- رحمنی، ش، ۱۳۸۳- گزارش بررسی و معرفی نواحی امیدبخش معدنی در ورقه زمین‌شناسی ۱:۱۰۰۰۰ طارم، ۷۳ صفحه.
- بهزادی، م، ۱۳۸۵- کانی‌شناسی، ژئوشیمی و ژئوگرافی کانسالار آهن آنومالی شمالی واقع در منطقه بافق- یزد، رساله دکتری، دانشگاه شهید بهشتی تهران.

References

- Daliran, F., 2002- Kiruna-type iron ores and "apatite" of the Bafq district iron, with an emphasis on the REE geochemistry of their apatites; in porter, T.M.(Ed), Hydrothermal iron oxide Copper-Gold and related deposits. A Global perspective, V.Z; PGC publishing, Adelaide, P303-320.
- Deer, W. A., Howie, R. A. & Zussman, J., 1962- Rock forming minerals. 5. Longman, London, 371pp.
- Frietsch, R., 1978- On the magmatic origin of iron ores of the kiruna - type. Economic geology, V.37, P 478-483.
- Loberg, B. E. H. & Horndahl, A. K., 1983- Ferried geochemistry of Swedish Precambrian ores. Mineralium Deposita, V.18, P 121-128.
- Nasland, H. R., Aguirre, R., Dobbs, F. M., Henriquez, F. & Nystrom, J. O., 2000- The Origin, emplacement and eruption of ore magmas. Internet.
- Nystrom, J. O. & henriquez, F., 1994- magmatic features of iron ores of the kiruna - type in chile and widen: ore textures and magnetite geochemistry. Economic geology, V.89, P 820-839.
- Hirayama, 1966- Explanatorytext of the Tarom Quadrangle map 1:100000 GSI.
- Redman, P. W. and O. Reilly, W., 1970, the synthesis and inversion of nonstoichiometric titanomagnetites. Phys. Earth planet. Inter., 4, P 121-128.

The Origin and Evolution of Quaternary Basaltic Magmas in NW Azerbaijan (Burlan to Gonbad) using Sr- Nd Studies

M. Kheirkhah^{1*} & M. H. Emami¹

¹Research Institute for Earth Sciences, Geological Survey of Iran, Tehran

Received: 2009 March 07

Accepted: 2009 December 12

Abstract

At the farthest end of NW Iran, the Quaternary basalts crop out in Azerbaijan province, located in Alpine – Himalaya belt and highly plateau of Iran-Turkish, eastern Anatolian. The Quaternary volcanic units of NW Azerbaijan cover a broad compositional range from basalts, basaltic andesite, trachy andesite to trachyte. These rocks are erupted from deep tension, strike-slip faults in a pull apart basin and volcanic centers. Source of primary magmas and crustal contamination processes have certainly contributed to the understanding of the origin of basaltic rocks. Based on field area, petrography and petrology studies, 10 samples were selected for $^{143}\text{Nd}/^{144}\text{Nd}$ and $^{87}\text{Sr}/^{86}\text{Sr}$ measurements. The obtained results were correlated with other isotopic data of similar Quaternary basaltic rocks from Turkey. Isotopic study indicates that all of these rocks are derived from mantle and plot in Bulk Earth field and mantle array. The basaltic rocks in the northern area are derived from a depleted mantle and those from the southern area shows contamination by crust.

Keywords: NW Azerbaijan, Quaternary basaltic rocks, Isotopic study, Primary magmas, Depleted mantle, Crustal contamination.

For Persian Version see pages 113 to 118

*Corresponding author: M. Kheirkhah; E-mail: Kheirkhah.monireh@gmail.com

Mineralography, Structural and Textural Studies and Genesis of Zaker Iron - Apatite Deposit (Northeast of Zanjan)

N. Khanmohammadi^{1*}, A. Khakzad² & J. Izadyar¹

¹ Dep. of Geology, Faculty of Sciences, Zanjan University, Zanjan, Iran.

²Faculty of Earth Sciences, Shahid Beheshti University, Tehran, Iran.

Received: 2007 December 17 Accepted: 2009 April 18

Abstract

Zaker iron deposit is located in the northeast of Zanjan city and is a part of Tarom volcano – plutonic belt in Azarbaijan – West alborze structural zone. The main rocks of the area consist of folded volcanic - volcanoclastic rocks including breccia tuff, lapilli-tuff and andezitic – basaltic lava of Amand member of Karaj formation with Eocene age that folded. Plutonic rocks with probably Oligocene age with various lithology changing from quartzmonzodiorite, quartzmonzonite to quartzsyenite with NW-SE trend were intruded into the volcanic – volcanoclastic rocks. Fe-mineralization occurred in interval of plutons and volcanic - volcanoclastic rocks. The main ore mineral is magnetite – apatite with minor amounts of quartz and calcite. As well as magnetite- apatite mineralization, pyrite with minor amounts of chalcopyrite occurred in sulphide veinlets. The mineralization has been seen in five forms: veinlets of magnetite in form of stock- work, massive magnetite- apatite, banded magnetite- apatite, coarse grained magnetite- apatite veins and sulphide veinlets. Intrusion of ore deposit into host volcanic rocks, are associated with skarn metasomatism that form actinolite, talc, chlorite, phlogopite, quartz, calcite and epidote. Geothermobarometry for the skarn part, indicate that X_{CO_2} is about 0.9, pressure of 2 kbar and the temperature is about 400-500 °C for metamorphic reactions. Detailed studies on textures and structures suggest the source of the iron from Zaker granitoid body and volcanic rocks are host rocks for iron deposit. Mineralography investigations are indicative of magmatic origin and show the best correlation with "Kiruna-type" iron ores.

Keywords: Zaker, Azarbaijan –West Alborze structural zone, Magnetite – apatite, Skarn, Geothermobarometry, Kiruna

For Persian Version see pages 119 to 126

* Corresponding author: N.Khanmohammadi; Email: Khanmohammadi15694@yahoo.com